

## I LUJUUSOPIN PERUSYHTÄLÖT

I.1. Tutki, ovatko xy-koordinaatistossa annetut jännityskomponentit

$$\sigma_x = -\frac{3}{2}x^2y^2 \quad \sigma_y = -\frac{1}{4}y^4 \quad \tau_{xy} = xy^3$$

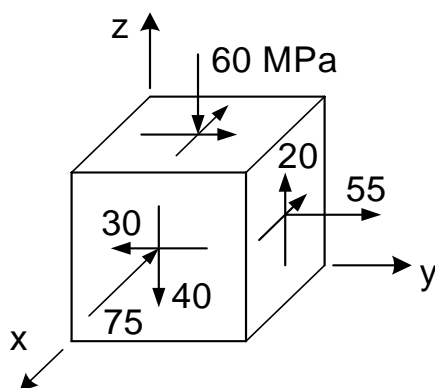
mahdolliset tasojännitystilassa. Tilavuusvoimat  $f_x$  ja  $f_y$  ovat nollia.

I.2. Osoita, että jännityskomponentit (A, B ja C ovat vakioita)

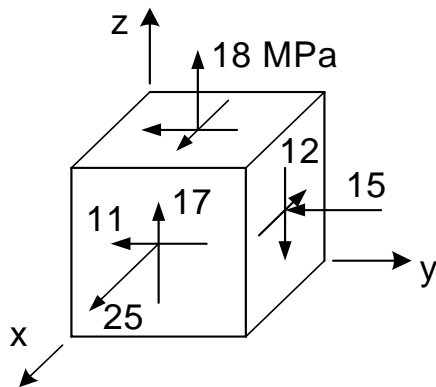
$$\begin{aligned} \sigma_x &= Ax^2 - Bx^3/3 & \sigma_y &= -Bxy^2 + Cy^3/3 & \sigma_z &= Cyz^2 + Az^3/3 \\ \tau_{xy} &= Bx^2y & \tau_{xz} &= -Az^2x & \tau_{yz} &= -Cy^2z \end{aligned}$$

toteuttavat jännityskomponenttien kolmiulotteiset tasapainoehdot, kun tilavuusvoimat  $f_x$ ,  $f_y$  ja  $f_z$  ovat nollia.

I.3. Levyrakenteen pisteessä on tasojännitystilassa  $\sigma_x = 80 \text{ MPa}$ ,  $\sigma_y = -40 \text{ MPa}$  ja  $\tau_{xy} = -50 \text{ MPa}$ . Kirjoita mielivaltaisen suunnan  $\theta$  normaalijännityksen  $\sigma_{x'}$  ja leikkausjännityksen  $\tau_{x'y'}$  lausekkeet kulman  $\theta$  funktiona. Piirrä jännitysten  $\sigma_{x'}$  ja  $\tau_{x'y'}$  kuvaajat Mathcadilla karteesisen koordinaatistoon, kun  $\theta \in [0, 2\pi]$ . Piirrä jännitysten  $\sigma_{x'}$  ja  $\tau_{x'y'}$  kuvaajat Mathcadilla myös napakoordinaatistoon ja totea kuvaajista jännitysten ääriarvot ja niiden esiintymissuunnat sekä näiden välinen kohtisuoruus. Totea myös leikkausjännitysten nollakohtia vastaavat suunnat. Laske pääjännitykset ja -suunnat sekä leikkausjännityksen suurin arvo xy-tasossa ja sen esiintymissuunta.



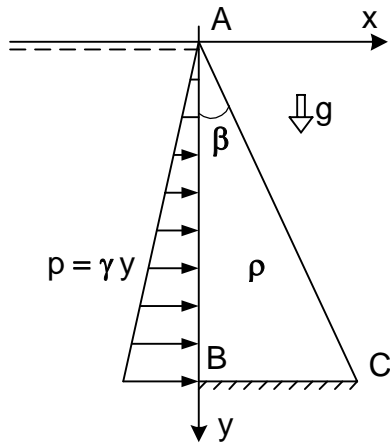
I.4. Kappaleen pisteessä on oheisen jännityselementin mukainen jännitystilassa. Kirjoita kuvaan merkittyä xyz-koordinaatistoa vastaava jännitysmatriisi. Laske suunnan  $\bar{n} = (2\bar{i} - \bar{j} - \bar{k})/\sqrt{6}$  jännityselementin mukainen jännitystilassa. Kirjoita kuvaan merkittyä xyz-koordinaatistoa vastaava jännitysmatriisi siinä koordinaatistossa, joka saadaan kiertämällä xyz-koordinaatistoa x-akselin ympäri  $45^\circ$  myötäpäivään.



### I.5.

a) Kappaleen pisteessä on oheisen jännityselementin mukainen jännitystilä. Laske tätä jännitystilaa vastaavan jännitysmatriisin pääinvariantit  $I_1$ ,  $I_2$  ja  $I_3$ . Muodosta se kolmannen asteen yhtälö, josta pääjännitykset voidaan ratkaista. Ratkaise pääjännitykset Mathcadin polyroots-funktiolla. Ratkaise pääsuunnat käyttäen hyväksi Mathcadin solve-block rakennetta.

b) Ratkaise pääjännitykset Mathcadin eigenvals-funktiolla ja pääsuunnat eigenvecs-funktiolla.



I.6. Oheinen kuva esittää padon kiilamaista poikkileikkausta. Padon materiaalin tiheys on  $\rho$  ja sen reunaan asti ulottuvan nesteen  $\gamma/g$ . Osoita, että kuvan xy-koordinaatistossa annetut jännityskomponentit

$$\sigma_x = -\gamma y$$

$$\sigma_y = (\rho g - 2\gamma / \tan^2 \beta) x / \tan \beta + (\gamma / \tan^2 \beta - \rho g) y$$

$$\tau_{xy} = -(\gamma / \tan^2 \beta) x$$

toteuttavat jännityskomponenttien tasapainoyhtälöt ja reunaehdot sivuilla AB ja AC.

I.7. Kappaleen siirtymäkenttä on (yksikkönä mm)

$$u = (x^2 + 10) \cdot 10^{-2} \quad v = (2yz) \cdot 10^{-2} \quad w = (z^2 - xy) \cdot 10^{-2}$$

Laske pisteiden  $A(2, -1, 3)$  ja  $B(-1, -2, 2)$  siirtymäkomponentit.

Paljonko pisteiden A ja B välinen etäisyys muuttuu siirtymien johdosta? Mikä on keskimääräinen venymä pisteessä A suuntaan B?

Määritä muodonmuutoskomponenttien lausekkeet ja laske niiden arvot pisteessä A.

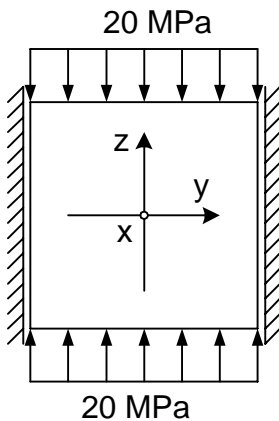
Kirjoita pisteen A muodonmuutostilaa vastaava muodonmuutosmatriisi ja määritä sen avulla venymä  $\epsilon_n$  janan AB suuntaisen yksikkövektorin  $\bar{n}_{AB}$  suunnassa. Vertaa tulosta aikaisemmin laskettuun venymään  $\epsilon_{AB}$  ja selitä mistä johtuu tuloksissa oleva ero. Määritä muodonmuutosmatriisin päävenymät ja pääsuunnat.

Osoita, että edellä annettu siirtymäkenttä on mahdollinen kappaleen siirtymäkenttä, ts. se johtaa yhteensopiviin muodonmuutoskomponentteihin.

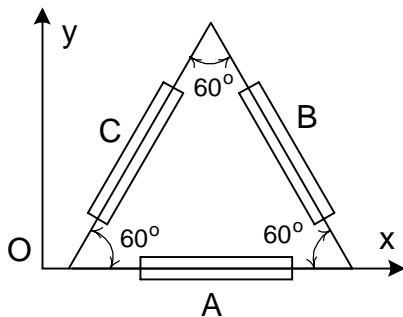
I.8. Kappaleen pisteessä on jännitysmatriisin

$$[S] = \begin{bmatrix} 20 & 6 & 5 \\ 6 & -25 & -12 \\ 5 & -12 & 15 \end{bmatrix} \text{ MPa}$$

mukainen jännitystilä. Laske tämän pisteen muodonmuutosmatriisi  $[V]$ , kun  $E = 210 \text{ GPa}$  ja  $\nu = 0,3$ .

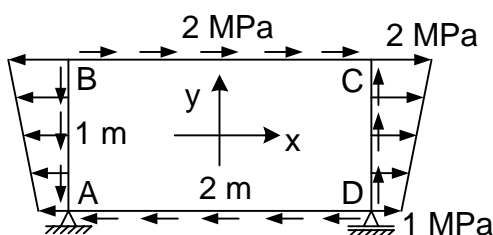


I.9. Teräskuutiota puristetaan z-akselin suunnassa tasaisella paineella 20 MPa. Kuution muodonmuutokset y-suunnassa on estetty, mutta x-suunnassa niitä voi vapaasti syntyä. Määritä kuution jännitys- ja muodonmuutoskomponentit (vakiokenttä), kun  $\nu = 0,3$  ja  $E = 210 \text{ GPa}$ .

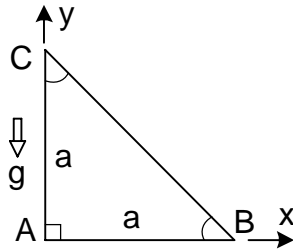


I.10. Kuvan mukaisella venymäliuskarusetilla mitataan kappaleen ulkopinnasta venymät suuntiin A, B ja C ( $\epsilon_A, \epsilon_B, \epsilon_C$ ). a) Johda kaavat, joilla päävenymät, pääsuunnat ja pääjännitykset voidaan laskea mitatuista venymistä. b) Sovella kaavoja tapaukseen  $E = 210 \text{ GPa}$ ,  $\nu = 0,3$ ,  $\epsilon_A = -1100\mu$ ,  $\epsilon_B = 900\mu$  ja  $\epsilon_C = 400\mu$ .

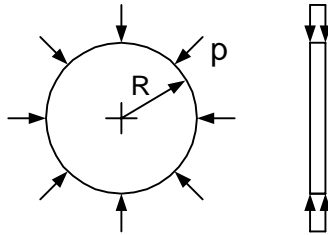
## II 2D-SOLIDIRAKENTEET



II.1. Päättelä oheisessa levyssä vaikuttavien jännityskomponenttien lausekkeet ja osoita, että ne toteuttavat voimamomenttien perusyhtälöt ja reunaehdot. Ratkaise sitten levyn siirtymäkomponenttien lausekkeet ja määritä niistä pisteen C siirtymät. Materiaalivakiot ovat  $E = 210 \text{ GPa}$  ja  $\nu = 0,3$ .



**II.2.** Osoita, että  $\phi(x,y) = (\rho g/3)y^3$  ( $\rho$  on tiheys) kelpaa Airyn jännitysfunktioksi ja määritä sitä vastaavat reunakuormitukset oheisen suorakulmaisen kolmion muotoisessa pystyasennossa painovoimakentässä olevassa levyssä. Esitä tulos kuvan avulla ja tarkista koko levyn tasapaino.



**II.3.** Sovella rotaatiosymmetristä ratkaisua kuvan mukaisen tasaisen reunapaineen  $p$  kuormittaman ohuen ympyrälevyn tapaukseen.

**II.4.** Osoita, että tapauksessa  $p_u = 0$ ,  $p_s \neq 0$  paksuseinäisen sylinteriputken  $\max \sigma_{\text{vert}} / \text{MLJH}$  on putken sisäpinnalla. Johda putkelle MLJHin mukainen seinämän paksuuden mitoituskaava  $\frac{s}{a} = \sqrt{\frac{\sigma_{\text{sall}}}{\sigma_{\text{sall}} - 2p_s}} - 1$ . Osoita MLJHin avulla, että putken lujuutta ei voida rajattomasti lisätä paksuntamalla sen seinämää.

**II.5.** Paksuseinäisen sylinteriputken säteet ovat  $a = 280 \text{ mm}$  ja  $b = 700 \text{ mm}$ . Sisäpuolinen paine on  $p_i = 2p$  ja ulkopuolinen paine  $p_o = p$ . Putki pääsee vapaasti laajenemaan pituussuunnassa. Osoita, että MLJHin mukaisen vertailujännityksen maksimiarvo on putken sisäpinnassa ja laske sen perusteella  $p_{\text{sall}}$ , kun  $\sigma_{\text{sall}} = 140 \text{ MPa}$ . Laske arvoa  $p_{\text{sall}}$  vastaava putken ulkohalkaisijan muutos, kun  $\nu = 0,3$  ja  $E = 210 \text{ GPa}$ .

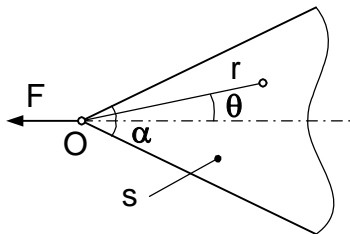
**II.6.** Laaditaan Mathcad-dokumentti paksuseinäisen sylinteriputken jännityksien ja säteittäissiirtymän tutkimiseen. Lähtötietoina annetaan dokumentin alussa kimmomoduuli  $E$ , Poissonin vakio  $\nu$ , sisäsäde  $a$ , ulkosäde  $b$ , sisäpaine  $p_s$ , ulkopaine  $p_u$  sekä tieto siitä, onko putken pituuden muutos estetty vai ei.

Dokumentti tekee lähtötiedot saatuaan seuraavaa:

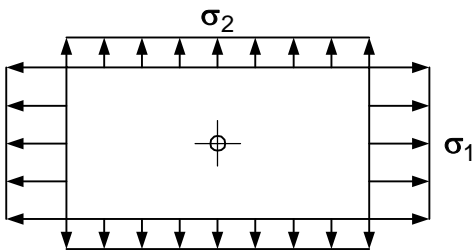
- Piirtää samaan kuvaan jännitysten  $\sigma_r$ ,  $\sigma_\theta$  ja  $\sigma_z$  kuvaajat säteen  $r$  funktiona putken paksuuden matkalta.
- Piirtää samaan kuvaan vertailujännitysten  $\sigma_{\text{vert}} / \text{MLJH}$  ja  $\sigma_{\text{vert}} / \text{VVEH}$  kuvaajat säteen  $r$  funktiona putken paksuuden matkalta ja etsii niiden maksimiarvot.
- Piirtää säteittäissiirtymän  $u_r$  kuvaajan säteen  $r$  funktiona putken paksuuden matkalta ja etsii sen maksimiarvon.

**II.7.** Rengaslaikan  $a = 50 \text{ mm}$ ,  $b = 400 \text{ mm}$ ,  $E = 210 \text{ GPa}$ ,  $\nu = 0,3$ ,  $\rho = 7850 \text{ kg/m}^3$  ja  $\sigma_{\text{sall}} = 200 \text{ MPa}$ . Määritä MLJH:n perusteella, kuinka suurella pyörimisnopeudella  $n \text{ (r/min)}$  laikkaa voidaan korkeintaan pyörittää. Laske, paljonko laikan sisä- ja ulkosäde muuttuvat, kun laikalla on suurin sallittu pyörimisnopeus.

**II.8.** Ympyrälevyn  $b = 500 \text{ mm}$ ,  $\rho = 7850 \text{ kg/m}^3$ ,  $E = 210 \text{ GPa}$  ja  $\nu = 0,3$ . Määritä kuinka suuri levyn pyörimisnopeus  $n$  voi enintään olla, kun sallittu halkaisijan muutos on  $0,2 \text{ mm}$ . Laske suurinta pyörimisnopeutta vastaava levyn normaalijännityksen maksimiarvo.

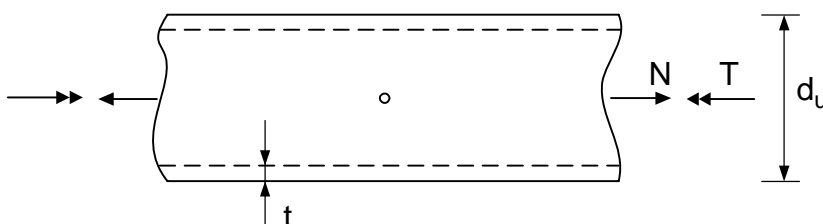


**II.9.** Laske napakoordinaatistossa annetusta jännitysfunktiosta  $\phi(r, \theta) = Cr\theta \sin\theta$  seuraavat jännityskomponenttien  $\sigma_r$ ,  $\sigma_\theta$  ja  $\tau_{r\theta}$  lausekkeet ja osoita, että ne toteuttavat oheisen kuvan mukaisen puoliäärettömän kiilan reunaehdot pistevoiman vaikutuspistettä O lukuun ottamatta. Määritä vakio C ottamalla vapaakappalekuvaksi r-säteinen kärkiosa kiilasta ja soveltamalla tasapainoa. Esitä periaatekuvat viivan  $\theta = 0^\circ$  jännityskomponenttien jakaantumisesta.



**II.10.** Osoita, että oheisen levyn pienen reiän reunapisteen ( $r = a$ )  $\max \sigma_\theta = 3\sigma_1 - \sigma_2$  ja  $\min \sigma_\theta = -\sigma_1 + 3\sigma_2$ , kun  $\sigma_1 \geq \sigma_2$ . Sovella tulosta isotrooppiseen ( $\sigma_1 = \sigma_2$ ) ja puhtaan leikkausjännitystilan ( $\sigma_1 = -\sigma_2$ ) loven muotolukujen määrittämiseen.

**II.11.** Ohutseinäisen putken ulkohalkaisija on  $d_u = 161 \text{ mm}$  ja seinämän paksuus  $t = 1 \text{ mm}$ . Putkea rasittavat normaalivoima  $N = 10 \text{ kN}$  ja vääntömomentti  $T = 1,1 \text{ kNm}$

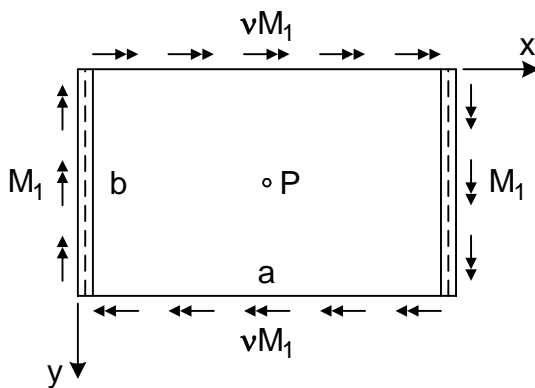


kuvan mukaisesti. Putken seinämään porataan reikä, jonka halkaisija on hyvin pieni putken ulkohalkaisijaan verrattuna. Määritä reiän reunan kehäjännityksen  $\sigma_\theta$  suurin ja pienin arvo.

### III LAATTARAKENTEET

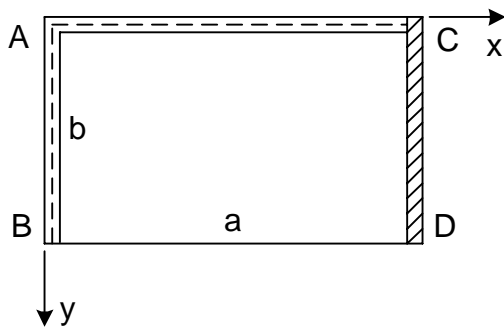
**III.1.** Teräslaatan paksuus  $h = 6 \text{ mm}$  ja materiaalivakiot ovat  $E = 200 \text{ GPa}$  ja  $\nu = 0,3$ . Määritä laatan suureet  $D$  ja  $I$ . Laatan kuormituksesta aiheutuu sen keskipinnan tiettyyn pisteeseen momenttitiheydet  $M_x = 0,6 \text{ kN}$ ,  $M_y = 0,4 \text{ kN}$  ja  $M_{xy} = -0,5 \text{ kN}$ . Laske kimmopinnan kaarevuudet  $\kappa_x$  ja  $\kappa_y$  sekä kierevyys  $\kappa_{xy}$  tässä pisteessä. Määritä lisäksi tarkastelukohdan leikkausten  $x = \text{vakio}$  ja  $y = \text{vakio}$  jännitysjakautumat ja piirrä niiden kuvaajat. Laske vielä laatan alapinnan  $\sigma_{\text{vert}} / \text{MLJH}$ .

**III.2.** Suorakulmiolaatta on reunoilta  $x = 0$  ja  $x = a$  niveltuettu sekä reunoilta  $y = 0$  ja  $y = b$  vapaa. Kuormituksena ovat reunoilla vaikuttavat vakio taivutusmomentin viiva-  
tiheydet  $M_1$  ja  $\nu M_1$ . Määritä vakiot  $C_1, \dots, C_6$  siten, että



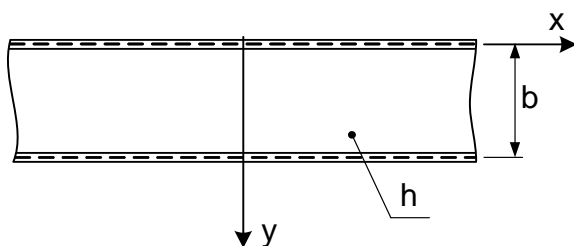
$$w = C_1 + C_2 x + C_3 y + C_4 x^2 + C_5 xy + C_6 y^2$$

on laatan taipuman lauseke. Laske laatan kaarevuudet ja kierevyys. Selvitä, miksi pinnaksi laatan keskipinta taipuu. Laske laatan maksimi taipuma ja keskikohdan yläpinnan pisteen  $P$   $\sigma_{\text{vert}} / \text{VVEH}$ , kun laatan paksuus  $h = 24 \text{ mm}$ ,  $a = 2 \text{ m}$ ,  $b = 1 \text{ m}$ ,  $M_1 = 1200 \text{ N}$ ,  $\nu = 0,3$  ja  $E = 210 \text{ GPa}$ .



**III.3.** Kuvan mukaisen suorakulmiolaatan reunoilla on seuraavat tuennat: AB ja AC ovat niveltuettuja, CD on jäykästi tuettu ja BD vapaa reuna. Kirjoita laatan reunaehdot ja lausu ne taipuman  $w$  avulla.

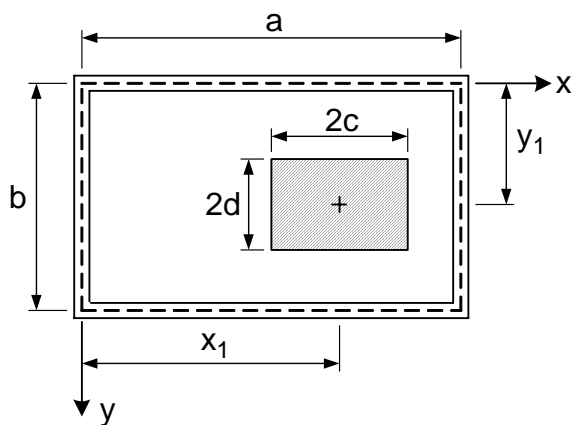
**III.4.** Kuvan mukaisen laattakaistan pituus on hyvin suuri sen leveyteen  $b$  verrattuna.  $x$ -suuntaisilla reunoilla  $y = 0$  ja  $y = b$  on niveltuennat. Määritä laatan taipuman  $w$  ja



jännityskomponenttien  $\sigma_x$ ,  $\sigma_y$ ,  $\sigma_z$ ,  $\tau_{xy}$ ,  $\tau_{xz}$  ja  $\tau_{yz}$  lausekkeet sekä niiden maksimi-arvot, kun laattalla on a) kuormitus  $p(y) = p_0 \sin \frac{\pi y}{b}$  ja b) tasainen kuormitus  $p_0$ .  $\nu = 0,3$ .

**III.5.** Suorakulmion (sivut  $a$  ja  $b$ ) muotoisen varastohuoneen lattialaatan sivut ovat niveltuetut. Lattialle on varastoitu rakeista ainetta, josta aiheutuvaa kuormitusta approksimoidaan lausekkeella  $p(x,y) = p_0 \sin \frac{\pi x}{a} \sin \frac{\pi y}{b}$ , jolloin  $p_0$  on kuormitustiheys laatan keskikohdalla. Määritä laatan suureiden  $w$ ,  $M_x$ ,  $M_y$ ,  $M_{xy}$ ,  $Q_x$  ja  $Q_y$  lausekkeet. Laske korvikeleikkausvoima  $V_x$  laatan reunoilla  $x=0$  ja  $x=a$  sekä korvikeleikkausvoima  $V_y$  laatan reunoilla  $y=0$  ja  $y=b$  ja päätele näistä laatan tukireaktiot. Vertaa tukireaktioiden ja kuormituksen resultantteja ja totea niiden erosta laatan nurkkavoimien arvot.

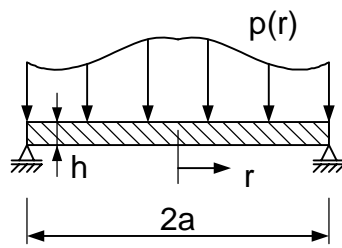
**III.6.** Reunoiltaan niveltuetulla suorakulmiolaatalla on kuvan mukaisella  $2c \times 2d$ -alueella (keskipiste on  $(x_1, y_1)$ ) tasainen kuormitus  $p_0$ . a) Määritä laatan taipuman kaksoissinisarja. b) Johda raja-arvotarkastelulla a)-kohdan tuloksesta kohdassa  $(x_1, y_1)$  vaikuttavan pistevoiman  $P$  aiheuttaman taipuman kaksoissinisarja. c) Kirjoita b)-kohdan sarja tapauksessa  $x_1 = \frac{a}{2}$ ,  $y_1 = \frac{b}{2}$  ja  $a = b$ . Esitä maksimi taipuman sarja ja laske maksimi taipuman arvoja käyttäen eri termimääriä. Vertaa tuloksia tarkkaan arvoon  $0,01160 \cdot \frac{Pa^2}{D}$ .



**III.7.** Paineen säätösystemiin sisältyy ohut teräksinen ympyrälaatta, jonka tehtävänä on sulkea sähköpiiri taipumalla keskeltä 1 mm, kun paine sen toisella puolella saavuttaa arvon 3 MPa. Laske tarvittava laatan paksuus, kun sen säde on  $a = 0,030$  m ja reuna on jäykästi kiinnitetty. Määritä laskettua paksuutta vastaava laatan suurin normaalijännitys ja arvioi konstruktion käyttökelpoisuutta lujuuden kannalta.  $\nu = 0,3$  ja  $E = 200$  GPa.

**III.8.** Reunaltaan niveltuetun ympyrälaatan säde on  $a = 0,1$  m ja paksuus  $h = 10$  mm. Laattaan kohdistuu tasainen kuormitus  $p = 0,5$  MPa. Materiaali on alumiinia, jonka  $\nu = 0,35$ ,  $E = 70$  GPa ja  $R_e = 241$  MPa. Laske laatan varmuusluku myötöön nähden MLJH:n mukaan.

**III.9.** Laadi Mathcad-dokumentti, joka ratkaisee ulkoreunaltaan niveltuetun ympyrälaatan statiikan ( $w$ ,  $M_r$ ,  $M_\theta$ ,  $Q_r$ ), kun dokumentissa annettava kuormitusfunktio  $p(r)$

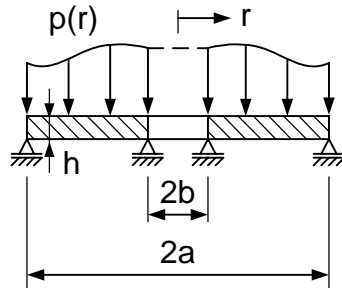


on rotaatiosymmetrinen. Dokumentin tulee myös piirtää suureiden  $w$ ,  $M_r$ ,  $M_\theta$ ,  $Q_r$  kuvaajat ja etsiä niiden ääriarvot.

Sovella dokumenttia kuormitusfunktioihin a)  $p(r) = p_0$  ja b)

$p(r) = p_0 \left(1 - \frac{r}{a}\right)$  tapauksessa  $E = 210 \text{ GPa}$ ,  $\nu = 0,3$ ,  $a = 200 \text{ mm}$ ,  $h = 5 \text{ mm}$  ja  $p_0 = 0,1 \text{ MPa}$ .

**III.10.** Laadi Mathcad-dokumentti, joka ratkaisee ulko- ja sisäreunaltaan niveltuetun rengaslaatan statiikan ( $w$ ,  $M_r$ ,  $M_\theta$ ,  $Q_r$ ), kun dokumentissa annettava kuormitusfunktio  $p(r)$  on rotaatiosymmetrinen.

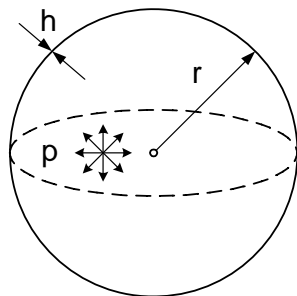


Dokumentin tulee myös piirtää suureiden  $w$ ,  $M_r$ ,  $M_\theta$ ,  $Q_r$  kuvaajat ja etsiä niiden ääriarvot. Sovella dokumenttia

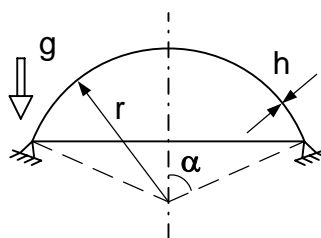
kuormitusfunktioihin a)  $p(r) = p_0$  ja b)  $p(r) = \frac{p_0}{a-b}(a-r)$

tapauksessa  $E = 210 \text{ GPa}$ ,  $\nu = 0,3$ ,  $a = 200 \text{ mm}$ ,  $b = 100 \text{ mm}$ ,  $h = 5 \text{ mm}$  ja  $p_0 = 0,1 \text{ MPa}$ .

## IV KUORIEN KALVOTEORIAA



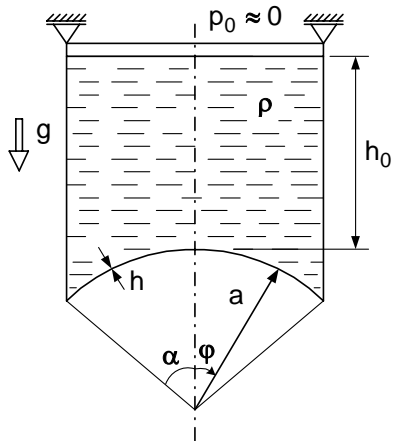
**IV.1.** Määritä oheisen pallokuoren sisäpuolisesta ylipaineesta  $p$  johtuvien kalvovoimien  $N_\varphi$ ,  $N_\theta$  ja  $N_{\varphi\theta}$  sekä vastaavien kalvojännitysten  $\sigma_\varphi$ ,  $\sigma_\theta$  ja  $\tau_{\varphi\theta}$  lausekkeet. Laske vielä pallon säteen muutos  $\Delta r$ , kun materiaalivakiot ovat  $E$  ja  $\nu$ . Sovella tuloksia lukuarvoihin  $p = 2 \text{ MPa}$ ,  $r = 1 \text{ m}$ ,  $h = 12 \text{ mm}$ .  $E = 210 \text{ GPa}$  ja  $\nu = 0,3$ .



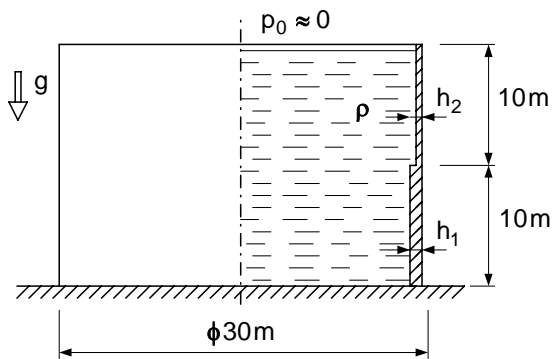
**IV.2.** Määritä oheisen pallokaloitin muotoisen kuoren kalvovoimien  $N_\varphi$  ja  $N_\theta$  lausekkeet, kun kuormituksena on pyörähdyksensä suuntainen painovoima. Kuoren materiaalin tiheys on  $\rho$ . Laske kalvojännityk-

set  $\sigma_\varphi$  ja  $\sigma_\theta$ . Selvitä, millä kulman  $\alpha$  arvoilla kuoressa on vain puristusjännityksiä ( $0 < \alpha \leq 90^\circ$ ).

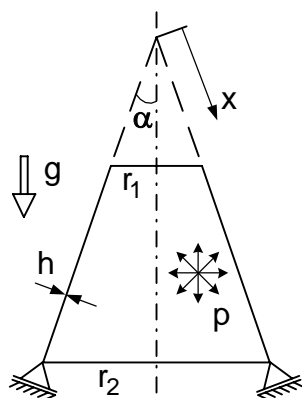




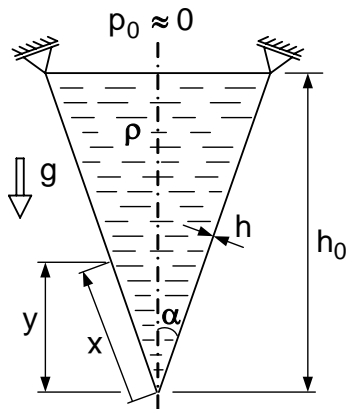
**IV.3.** Nestesäiliö on tehty sylinteri- ja pallokuoresta kuvan osoittamalla tavalla. Säiliössä on nestettä (tiheys  $\rho$ ) korkeudelle  $h_0$  asti. Määritä pohjaosan kalvojännityksien lausekkeet meridiaanikulman  $\phi$  funktiona. Onko kalvoratkaisu tarkasti voimassa sylinteri- ja pallokuoren liitoskohdassa? Sovella tuloksia lukuarvoihin  $\alpha = 45^\circ$ ,  $a = 3 \text{ m}$ ,  $h = 5 \text{ mm}$ ,  $h_0 = 5 \text{ m}$ ,  $\rho = 1000 \text{ kg/m}^3$ ,  $g = 9,81 \text{ m/s}^2$ . Piirrä pohjaosan kalvovoimien ja VVEHin mukaisen vertailujännityksen kuvaajat kulman  $\phi$  funktiona ja etsi vertailujännityksen maksimikohta ja -arvo.



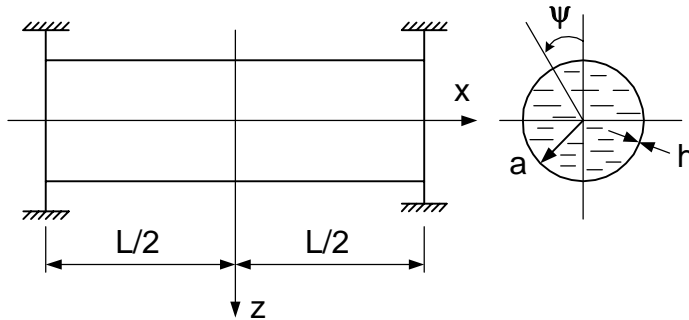
**IV.4.** Määritä oheisen sylinterin muotoisen öljysäiliön seinämän paksuudet  $h_1$  ja  $h_2$  siten, että kehän suuntainen normaalijännitys ei ylitä arvoa  $75 \text{ MPa}$ . Öljyn tiheys  $\rho = 850 \text{ kg/m}^3$ .



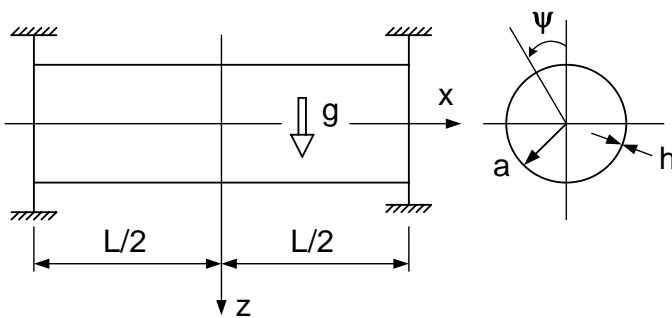
**IV.5.** Ratkaise oheisen katkaistun kartion kalvovoimien  $N_x$  ja  $N_\theta$  lausekkeet ja niiden ääriarvot, kun kuormituksena on a) ylipaine  $p$  ja b) kuoren oma painovoima (tiheys on  $\rho$ ). Tutki myös umpinainen kartio ( $r_1 = 0$ ).



**IV.6.** Kuvan mukainen kartion muotoinen nestesäiliö on täynnä nestettä (tiheys  $\rho$ ). Määritä kalvojäännityksien lausekkeet sivuviivan suuntaisen koordinaatin  $x$  funktiona. Sovella tuloksia lukuarvoihin  $\alpha = 45^\circ$ ,  $a = 3 \text{ m}$ ,  $h = 5 \text{ mm}$ ,  $h_0 = 5 \text{ m}$ ,  $\rho = 1000 \text{ kg/m}^3$ ,  $g = 9,81 \text{ m/s}^2$ . Piirrä kalvovoimien ja VVEHin mukaisen vertailujännityksen kuvaajat koordinaatin  $x$  funktiona ja etsi vertailujännityksen maksimikohta ja -arvo.



**IV.7.** Määritä kuvan ympyräsylinterikuoren kalvovoimien  $N_x$ ,  $N_\psi$  ja  $N_{x\psi}$  lausekkeet, kun sylinteri on täynnä nestettä, jonka tiheys on  $\rho$ . Kuori on tuettu päistään ohuilla levyillä, jolloin kuoren päissä  $N_x = 0$ .



**IV.8.** Kuvan mukaista vaakasuorassa olevaa sylinterikuorta rasittaa sen oma painovoima  $q = \rho gh$ . Määritä kuoren kalvojäännitykset, kun sen päissä on (a) tuennat, joiden kohdalla  $N_x = 0$  ja (b) tuennat, jotka estävät kuoren pituudenmuutoksen.